

傾斜密度流に関する一考察

関西大学工学部 正員 山岡 一三
 関西大学工学部 正員 西形 達明
 前田建設工業(株) 正員 ○小西喜代治

1. 考え方: 最近各地で問題になつてゐる貯水池における濁りの長期化現象、貯水池内の堆砂の問題に関する研究、あるいは河床・湖床・海底等に堆積した底泥の浚渫時に生じる濁りの防止に対する研究は重要なものになつてきている。これらの問題を解明するにあたつて密度流の研究は有用な情報を与えるものと思われる。福岡¹⁾は、塩水密度流先端部の挙動を最先端の三角形状部分とそれに続く水面に平行な内部境界面を持つ台形部分から成るモデルで仮定している。また芦田²⁾は、このモデルを改良し、上面からの連行現象・周囲水の取り込みを考慮したモデルを提案している。本研究においては、芦田らのモデルを参考に、先端部からの周囲水の取り込み高さ・抵抗係数等について一考察を行なうものである。

2. 解析モデル及び理論解析: 解析モデルは芦田²⁾のモデルを参考にして、突出部下側(CD面)から周囲水の混入を考慮していきながら、流入する高さは突出部下側の高さ(s_f)の全體から流入するのではなく、次式の境界層の排除厚の考え方を用い、一定の高さ(s_a)から流入するものとする。(図-1、図-2参照)

$$\Omega s_a = \int_0^{\infty} (\Omega - u) dy$$

$$s_a = \int_0^{\infty} (1 - \frac{u}{\Omega}) dy = 1.7208 (\frac{\nu \cdot x}{\Omega})^{1/2}$$

s_a : 排除厚 ν : 動粘性係数 x : 先端からの距離

また、上面から上層流体への連行速度は Keulegan の連行速度³⁾から次のように表わされる。

$$U_f = K \cdot (U_i - 1.15 U_{ic}) \quad K = 3.5 \times 10^{-4}$$

U_f : 連行速度 U_{ic} : 限界流速

以上の考え方を用い、式(5)、式(6)、式(7)の非定常運動量方程

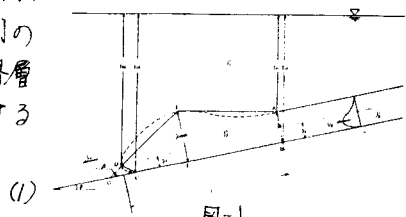
式及び質量保存方程式を連立させ逐次計算を行い、先端部における移動速度、最大高さ、内部密度について解析を行う。

$$F = \frac{d}{dt} (m \cdot v) = \frac{d}{dt} (P_s \cdot V \cdot v_s)$$

$$\frac{dV}{dt} = s'_s (v_s - v_i) s_t + s_a v_i s_t - (\bar{DE} + \bar{EA}) \cdot v_i \cdot \sin \theta \cdot s_t$$

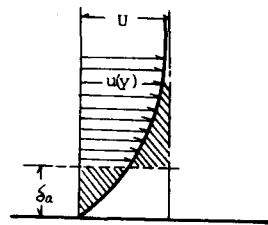
$$\frac{dP_s}{dt} = \frac{V P_s + s'_s (v_s - v_i) P_i s_t + s_a v_i P_i s_t - (\bar{DE} + \bar{EA}) \cdot v_i \cdot P_i s_t}{V + s'_s (v_s - v_i) s_t + s_a v_i s_t - (\bar{DE} + \bar{EA}) \cdot v_i s_t} - P_s$$

F : 外力 V : 先端部体積 v_i, v_s : 先端部・定常部速度 P_s, P_i : 周囲・先端部・定常部密度



(1)
(2)

図-1



(3)

図-2

Yamaoka Ichizou Nishigata Tatsuaki

○ Konishi Kiyoshi

3. 解析結果及び考察： 図-3と図-4は、流入高さの違いによる先端部移動速度と先端部最大高さを表わしたものであるが、その高さから流入する場合($AD = \infty$)は流入量が多くすぎるため、実測値より先端部移動速度では小さく、先端部最大高さでは大きい。排除厚 μ_0 から流入する場合($AD = \mu_0$)は移動速度で大きく、最大高さで小さくなり実測値に近づく。以上のことにより、流入高さに排除厚を用いることが実際現象をより表わしていると考えられる。

次に抵抗係数についてみると、図-5より先端部移動速度は抵抗係数が大きいほど小さくなる。また初期においては抵抗係数が大きい方が、それ以降においては抵抗係数が小さい方がより実測値に近い値となる。先端部最大高さでは図-6から抵抗係数が大きいほど先端部最大高さは大きい。これは抵抗係数が増加すると移動速度が減少し、定常部からの塗抹供給量が増加することから明らかである。

以上二つのグラフを見ると、先端部移動速度・先端部最大高さ共に初期において実測値と差が生じる。この原因の一つとして抵抗係数を定数として取り扱ったことが考えられる。抵抗には形状抵抗・表面抵抗を考えられるが、これらの抵抗式中の抵抗係数はReynold数を含む式で表わすことができる。図-7は実験より得た抵抗係数とReynold数の関係を示したものであるが、このグラフよりReynold数が同じであれば密度の大きい方が抵抗係数が大きくなっている。このことにより今回得た抵抗係数をReynold数と密度比(周囲水の密度 P_0 と流入・塗抹密度 P_1 の比)の式として取り扱い次の式を導いた。

$$C_D = K \cdot Re^{-0.94} \quad K = 660 - 0.9 \cdot P_1 / (P_0 - P_1) \quad (7)$$

この抵抗係数式を用いて計算を行なうものが図-4、図-5のMODEL-CDで表わしてあるが、抵抗係数式が減少形であるため初期において抵抗係数が大きく、徐々に小さくなる。そのため初期における問題点も解消され、より実際現象に近づいていくと考えられる。

参考文献

- 1) 福岡捷二・水村和正・加納敏行：密度流先端部の運動機構に関する基礎的研究、土木学会論文報告集、第274号、1978.
- 2) 芦田和男・江頭進治・中川一：密度流先端部の運動に関する研究、土木学会関西支部年次学術講演会概要集、1979.
- 3) Simpson, J. E. : Effect of the Lower boundary on the head of a gravity current, J. Fluid Mech. vol. 53 part 4, 1972.

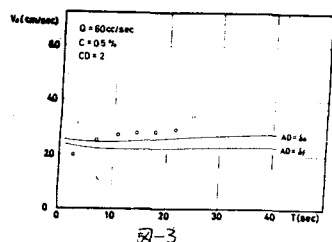


図-3

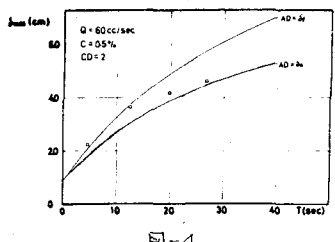


図-4

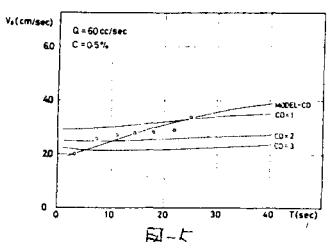


図-5

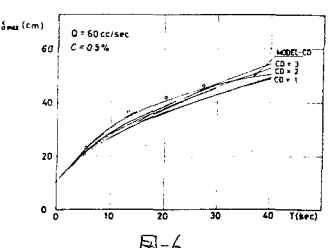


図-6

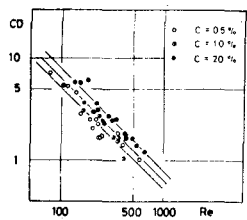


図-7